

© 2024 г. А.С. КУЛЕШОВ, канд. физ.-мат. наук

(alexander.kuleshov@math.msu.ru),

М.М. ГАДЖИЕВ, (maxuta-jr@yandex.ru)

(Московский государственный университет им. М.В. Ломоносова)

## ОБ УСТОЙЧИВОСТИ РЕГУЛЯРНЫХ ПРЕЦЕССИЙ ТЕЛА, ОГРАНИЧЕННОГО ПОВЕРХНОСТЬЮ ЭЛЛИпсоИДА ВРАЩЕНИЯ, В ПОТОКЕ ЧАСТИЦ<sup>1</sup>

Изучаются регулярные прецессии твердого тела с неподвижной точкой, ограниченного поверхностью эллипсоида вращения и находящегося в свободном молекулярном потоке частиц. Получены условия устойчивости регулярных прецессий, построены бифуркационные диаграммы Пуанкаре–Четаева.

*Ключевые слова:* твердое тело с неподвижной точкой, свободный молекулярный поток, регулярные прецессии, устойчивость стационарных движений.

DOI: 10.31857/S0005231024090035, EDN: ZQWMZL

### 1. Введение

Задача о движении твердого тела с неподвижной точкой под действием внешних сил является обобщением классической задачи о движении тяжелого твердого тела с неподвижной точкой. Один из случаев интегрируемости этой задачи был открыт Ж.-Л. Лагранжем [1]. В дальнейшем было опубликовано множество работ, посвященных изучению динамики волчка Лагранжа. Регулярные прецессии были впервые рассмотрены в [2, 3], а их устойчивость исследуется в работах [2, 4, 5].

Модель взаимодействия свободномолекулярного потока частиц с твердым телом была предложена в работах А.А. Карымова [6, 7] и В.В. Белецкого [8, 9], в которых рассматривалась динамика спутников, движущихся в верхних слоях атмосферы или под действием солнечной радиации. Задача о движении твердого тела с неподвижной точкой под действием набегающего свободномолекулярного потока частиц впервые была рассмотрена в работе А.А. Букова и А.В. Карапетяна [10]. В ней получены уравнения движения, а также найден интегрируемый случай, аналогичный случаю Лагранжа в классической задаче о движении тяжелого твердого тела с неподвижной точкой. Вопрос устойчивости стационарных движений тела под воздействием солнечной радиации был рассмотрен, например, в работе В.В. Сидоренко [11].

<sup>1</sup> Исследование выполнено за счет проекта Российского научного фонда № 24-11-20009.

В данной работе исследуются регулярные прецессии динамически симметричного тела, ограниченного поверхностью эллипсоида вращения. С помощью теории Рауса исследования устойчивости стационарных движений систем с известными первыми интегралами получены условия устойчивости регулярных прецессий тела с неподвижной точкой, находящегося в потоке частиц.

## 2. Постановка задачи

Рассмотрим движение твердого тела с неподвижной точкой  $O$  в свободном молекулярном потоке частиц постоянной плотности  $\rho$  (см. рис. 1). Частицы потока движутся с постоянной абсолютной скоростью

$$-\mathbf{v} = v_0 \boldsymbol{\gamma},$$

где  $\boldsymbol{\gamma}$  – единичный вектор, неподвижный в абсолютном пространстве и направленный вдоль набегающего потока. Частицы движутся поступательно, тепловым движением пренебрегаем. В качестве модели взаимодействия частиц с телом выбрана следующая – частица совершает абсолютно неупругий удар с телом, передавая ему всю энергию и не отражаясь. Также будем рассматривать достаточно медленные вращения тела, т.е. произведение характерной угловой скорости на характерное расстояние от неподвижной точки до поверхности тела значительно меньше скорости набегающего потока  $v_0$ . Используя метод, предложенный в работах В.В. Белецкого [8, 9], можно записать систему уравнений движения тела [10, 19–21]:

$$(1) \quad \begin{aligned} \mathbb{J}_0 \dot{\boldsymbol{\omega}} + [\boldsymbol{\omega} \times \mathbb{J}_0 \boldsymbol{\omega}] &= -\rho v_0^2 S(\boldsymbol{\gamma}) [\boldsymbol{\gamma} \times \mathbf{c}(\boldsymbol{\gamma})], \\ \dot{\boldsymbol{\gamma}} + [\boldsymbol{\omega} \times \boldsymbol{\gamma}] &= 0, \end{aligned}$$

где  $\mathbb{J}_0 = \text{diag}(A_1, A_2, A_3)$  – тензор инерции тела относительно неподвижной точки  $O$ , записанный в системе координат  $Oxyz$ , связанной с телом, с началом в неподвижной точке и осями, направленными вдоль главных осей инерции тела. Обозначим орты этой системы координат  $\mathbf{e}_x, \mathbf{e}_y, \mathbf{e}_z$ . Запишем вектор абсолютной угловой скорости тела в тех же координатах  $\boldsymbol{\omega} = \omega_1 \mathbf{e}_x + \omega_2 \mathbf{e}_y + \omega_3 \mathbf{e}_z$ .

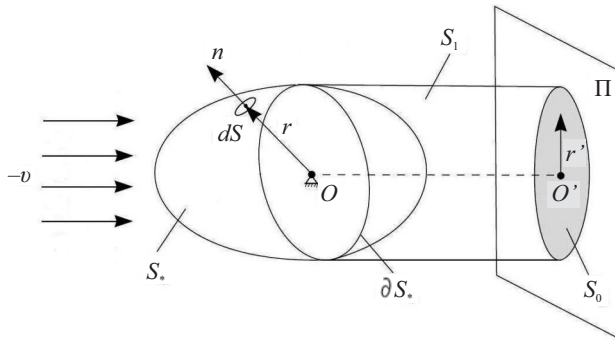


Рис. 1. Твердое тело с неподвижной точкой в потоке частиц.

Выражение  $S(\gamma)$  представляет собой площадь фигуры  $S_0$  – ортогональной проекции поверхности тела на плоскость  $\Pi$ , перпендикулярную направлению набегающего потока частиц  $\gamma$ . Можно сказать, что  $S_0$  представляет собой “тень”, которую отбрасывает тело в потоке частиц на плоскость, перпендикулярную потоку. Вектор  $\mathbf{c}(\gamma)$  – это вектор, проведенный из проекции неподвижной точки  $O'$  (см. рис. 1) в центр масс “тени”, т.е. в центр масс однородной пластины, имеющей форму фигуры  $S_0$ .

### 3. Регулярные прецессии тела

Рассмотрим динамически симметричное тело ( $A_1 = A_2$ ) с неподвижной точкой, лежащей на оси динамической симметрии. Предположим, что тело ограничено поверхностью эллипсоида вращения с полуосями  $a_1 = a_2 = a$ ,  $a_3 = b$ , ось симметрии которого совпадает с осью динамической симметрии тела. В таком случае уравнения движения тела (1) допускают один квадратичный и два линейных по обобщенным скоростям первых интеграла [19–22]:

$$(2) \quad U_0 = \frac{A_1}{2} (\omega_1^2 + \omega_2^2) + \frac{A_3}{2} \omega_3^2 - f \int_0^{\gamma_3} S(\gamma_3) c_3(\gamma_3) d\gamma_3 = k_0 = \text{const},$$

$$(3) \quad U_1 = A_1 (\omega_1 \gamma_1 + \omega_2 \gamma_2) + A_3 \omega_3 \gamma_3 = k_1 = \text{const},$$

$$(4) \quad U_2 = \omega_3 = k_2 = \text{const},$$

где  $f = \rho v_0^2$ . В этом случае для изучения стационарных движений системы можно воспользоваться теорией Рауса для голономных систем с известными первыми интегралами [12–15, 18]. Эффективный потенциал в случае, когда тело ограничено поверхностью вытянутого эллипсоида вращения, в явном виде записывается следующим образом:

$$(5) \quad W(\theta) = \frac{(k_1 - A_3 k_2 \cos \theta)^2}{2A_1 \sin^2 \theta} - \frac{f \pi a^2 b l}{2} \cos \theta \sqrt{\frac{\sin^2 \theta}{a^2} + \frac{\cos^2 \theta}{b^2}} - \\ - \frac{f \pi b l}{2 \sqrt{\frac{1}{a^2} - \frac{1}{b^2}}} \text{arctg} \left( \frac{\sqrt{\frac{1}{a^2} - \frac{1}{b^2}} \cos \theta}{\sqrt{\frac{\sin^2 \theta}{a^2} + \frac{\cos^2 \theta}{b^2}}} \right).$$

Здесь  $l$  – расстояние от неподвижной точки до центра эллипсоида вращения, ограничивающего твердое тело, а  $\theta$  – угол между осью динамической симметрии тела и направлением потока частиц, отсчитываемый так, что при  $\theta = 0$  тело ориентировано по потоку частиц. При любых значениях постоянных первых интегралов система уравнений (1) допускает двухпараметрическое семейство частных решений следующего вида:

$$(6) \quad \omega_1 = \omega \gamma_1, \quad \omega_2 = \omega \gamma_2, \quad \omega_3 = \omega \cos \theta + \Omega, \\ \gamma_1^2 + \gamma_2^2 = 1 - \gamma_3^2 = \sin^2 \theta, \quad \gamma_3 = \cos \theta,$$

где  $\omega$  и  $\Omega$  – постоянные, связанные с постоянными  $k_1$  и  $k_2$  первых интегралов (3) и (4) соотношениями

$$\omega = \frac{k_1 - A_3 k_2 \cos \theta}{A_1 \sin^2 \theta}, \quad \Omega = \frac{(A_1 \sin^2 \theta + A_3 \cos^2 \theta) k_2 - k_1 \cos \theta}{A_1 \sin^2 \theta},$$

а постоянный угол  $\theta$  определяется из условия существования регулярных прецессий

$$\frac{dW(\theta)}{d\theta} = 0,$$

которое в явном виде записывается следующим образом:

$$(7) \quad \frac{(k_1 - A_3 k_2 \cos \theta)(A_3 k_2 - k_1 \cos \theta)}{2A_1 \sin^3 \theta} + f\pi a^2 b l \sin \theta \sqrt{\frac{\sin^2 \theta}{a^2} + \frac{\cos^2 \theta}{b^2}} = 0.$$

Запишем уравнение (7) в безразмерной форме. Для этого введем безразмерные постоянные интегралов

$$(8) \quad p_1 = \frac{k_1}{\sqrt{A_3 f \pi a^2 l}}, \quad p_2 = k_2 \sqrt{\frac{A_3}{f \pi a^2 l}}$$

и безразмерные параметры

$$y = \frac{A_1}{A_3} \in \left[ \frac{1}{2}, +\infty \right), \quad z = \frac{b^2}{a^2} > 1.$$

Тогда условие существования регулярных прецессий (7) в безразмерной форме переписывается следующим образом:

$$\frac{(p_1 - p_2 \cos \theta)(p_2 - p_1 \cos \theta)}{y \sin^3 \theta} + \sin \theta \sqrt{z \sin^2 \theta + \cos^2 \theta} = 0,$$

или, домножая на  $-y \sin^3 \theta$ ,

$$(9) \quad \begin{aligned} a_{11} p_1^2 + 2a_{12} p_1 p_2 + a_{22} p_2^2 + a_1 &= 0, \\ a_{11} = \cos \theta, \quad a_{12} = -\frac{1 + \cos^2 \theta}{2}, \quad a_{22} = \cos \theta, \\ a_1 &= -y \sin^4 \theta \sqrt{z \sin^2 \theta + \cos^2 \theta}. \end{aligned}$$

Легко видеть, что при каждом фиксированном значении  $\theta$  уравнение (9) задает некоторую кривую второго порядка. Приведем эту кривую к каноническому виду. Для этого введем новые переменные  $x_1$  и  $y_1$  по формулам:

$$(10) \quad x_1 = p_1 - p_2, \quad y_1 = p_1 + p_2.$$

Для того, чтобы понять физический смысл безразмерных постоянных интегралов  $x_1$  и  $y_1$ , вспомним определение постоянных  $k_1$  и  $k_2$  (см. формулы (3), (4)). Для динамически симметричного тела можно записать

$$k_1 = A_1(\omega_1\gamma_1 + \omega_2\gamma_2) + A_3\omega_3\gamma_3 = (\mathbb{J}_O\omega, \gamma), \quad k_2 = \omega_3 = \frac{(\mathbb{J}_O\omega, e_z)}{A_3}.$$

Подставляя данные выражения в (8), получим следующее:

$$p_1 = \frac{1}{\sqrt{A_3 f \pi a^2 l}} (\mathbb{J}_0\omega, \gamma), \quad p_2 = \frac{1}{\sqrt{A_3 f \pi a^2 l}} (\mathbb{J}_0\omega, e_z).$$

По формуле (10) получается, что  $x_1$  – это, с точностью до постоянного множителя, проекция кинетического момента тела на вектор  $\gamma - e_z$ :

$$x_1 = p_1 - p_2 = \frac{1}{\sqrt{A_3 f \pi a^2 l}} (\mathbb{J}_0\omega, (\gamma - e_z)).$$

А  $y_1$  – проекция кинетического момента тела на вектор  $\gamma + e_z$

$$y_1 = p_1 + p_2 = \frac{1}{\sqrt{A_3 f \pi a^2 l}} (\mathbb{J}_0\omega, (\gamma + e_z)).$$

Векторы  $\gamma - e_z$  и  $\gamma + e_z$  перпендикулярны друг другу

$$((\gamma - e_z), (\gamma + e_z)) = \gamma^2 - e_z^2 = 0.$$

Третий ортогональный вектор перпендикулярен  $\gamma$  и  $e_z$ , следовательно, проходит вдоль линии узлов

$$[(\gamma - e_z) \times (\gamma + e_z)] = 2[\gamma \times e_z].$$

Таким образом,  $\gamma - e_z$  и  $\gamma + e_z$  – ортогональные векторы в плоскости, перпендикулярной линии узлов, а  $x_1$  и  $y_1$ , с точностью до постоянного множителя, представляют собой проекции кинетического момента на эти векторы.

Запишем уравнение (9) в координатах  $x_1, y_1$

$$(11) \quad \frac{1}{4}(1 + \cos \theta)^2 x_1^2 - \frac{1}{4}(1 - \cos \theta)^2 y_1^2 + a_1 = 0.$$

Полученное уравнение с точностью до постоянного множителя представляет собой канонический вид кривой второго порядка. Определим вид этой кривой. При  $\theta \neq \pi n$  свободный член  $a_1 < 0$ , а коэффициенты в квадратичной части отличны от нуля. Это означает (см., например, [16, 17]), что в каждом сечении плоскостями  $\theta \neq \pi n$  поверхности, задаваемой уравнением (11), имеем гиперболу. При  $\theta = \pi n$  свободный член, а также один из коэффициентов в квадратичной части будут равны нулю. Таким образом, в сечении плоскостями  $\theta = \pi n$  поверхность (11) представляет собой одну прямую вида

$$p_1 = (-1)^n p_2.$$

Эти прямые соответствуют однопараметрическим решениям системы уравнений движения, которые отвечают перманентным вращениям тела вокруг оси динамической симметрии, совпадающей с направлением потока частиц, омывающего тело с неподвижной точкой (см. [22]).

Условие устойчивости стационарных движений (6) в случае, когда тело с неподвижной точкой, находящееся в потоке частиц, ограничено поверхностью вытянутого эллипсоида вращения, имеет вид

$$\frac{d^2W(\theta)}{d\theta^2} \geq 0$$

или, в явном виде

$$\begin{aligned} & \frac{(1 + 2 \cos^2 \theta)}{y \sin^4 \theta} p_1^2 - \frac{(5 + \cos^2 \theta) \cos \theta}{y \sin^4 \theta} p_1 p_2 + \frac{(1 + 2 \cos^2 \theta)}{y \sin^4 \theta} p_2^2 + \\ & + \frac{(2z \sin^2 \theta + 2 \cos^2 \theta - 1) \cos \theta}{\sqrt{z \sin^2 \theta + \cos^2 \theta}} \geq 0. \end{aligned}$$

После домножения на положительный множитель  $y \sin^4 \theta$ , данное неравенство примет вид

$$(12) \quad \begin{aligned} & b_{11} p_1^2 + 2b_{12} p_1 p_2 + b_{22} p_2^2 + b_1 \geq 0, \\ & b_{11} = 1 + 2 \cos^2 \theta, \quad b_{12} = -\frac{(5 + \cos^2 \theta) \cos \theta}{2}, \quad b_{22} = 1 + 2 \cos^2 \theta, \\ & b_1 = \frac{y (2z \sin^2 \theta + 2 \cos^2 \theta - 1) \sin^4 \theta \cos \theta}{\sqrt{z \sin^2 \theta + \cos^2 \theta}}. \end{aligned}$$

Запишем неравенство (12) в переменных  $x_1, y_1$ :

$$(13) \quad \frac{1}{4} (1 + \cos \theta)^2 (2 + \cos \theta) x_1^2 + \frac{1}{4} (1 - \cos \theta)^2 (2 - \cos \theta) y_1^2 + b_1 \geq 0.$$

При каждом фиксированном  $\theta$  границей области устойчивости (т.е. кривой, которой соответствует знак равенства в неравенстве (13)) также будет некоторая кривая второго порядка. Вид этой кривой зависит от знака свободного члена  $b_1$ . При  $b_1 < 0$  граница области устойчивости представляет собой эллипс с центром в точке  $x_1 = 0, y_1 = 0$ . На плоскости безразмерных параметров  $x_1, y_1$  при каждом фиксированном  $\theta$  вне соответствующего эллипса будет область устойчивости регулярных прецессий (6), а внутри – область неустойчивости. При  $b_1 > 0$  граница области устойчивости вырождается в мнимый эллипс, а при  $b_1 = 0$  граница представляет из себя прямую. Можно заметить, что при  $b_1 \geq 0$  неравенство (13) выполняется для любых значений  $x_1, y_1$ , следовательно регулярные прецессии будут устойчивыми.

Рассматривая одновременно условие существования (11) и условие устойчивости (13) стационарных движений тела с неподвижной точкой в потоке

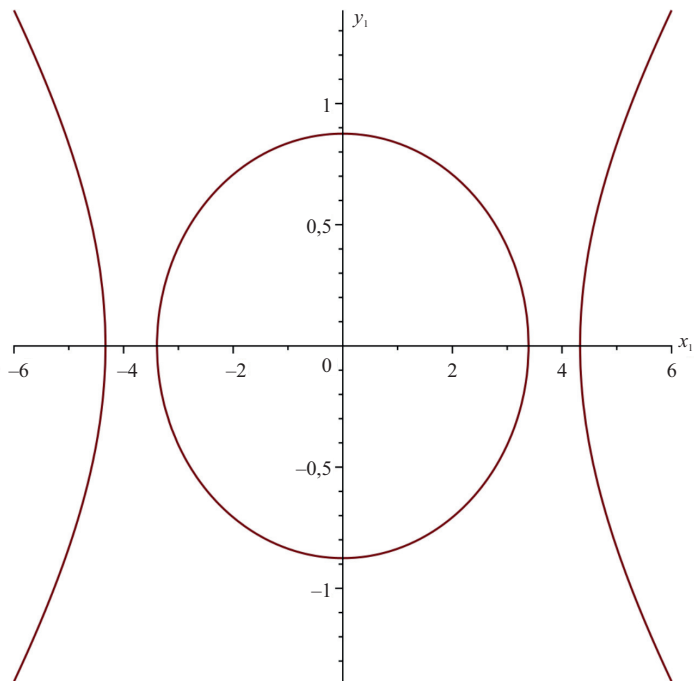


Рис. 2. Вид гиперболы и эллипса при  $y = \frac{5}{6}$ ,  $z = 8$ ,  $\theta = \frac{2\pi}{3}$ .

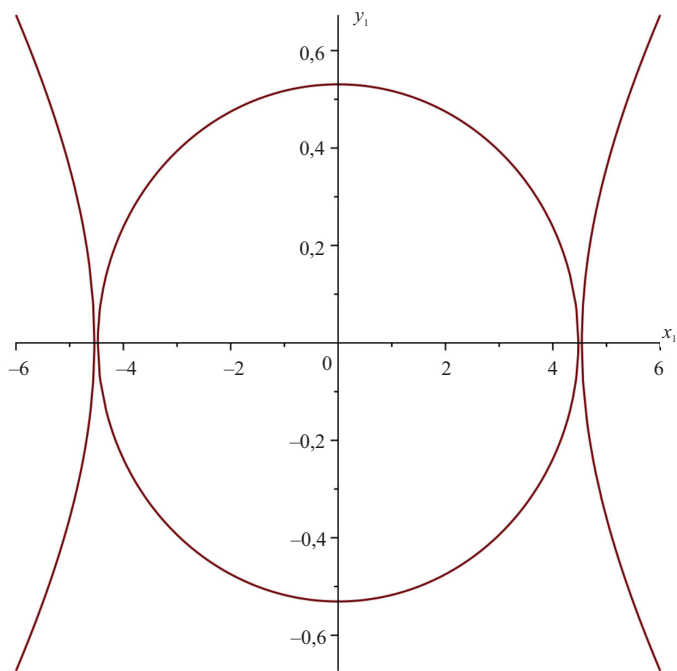


Рис. 3. Вид гиперболы и эллипса при  $y = \frac{5}{6}$ ,  $z = 8$ ,  $\theta = \frac{3\pi}{4}$ .

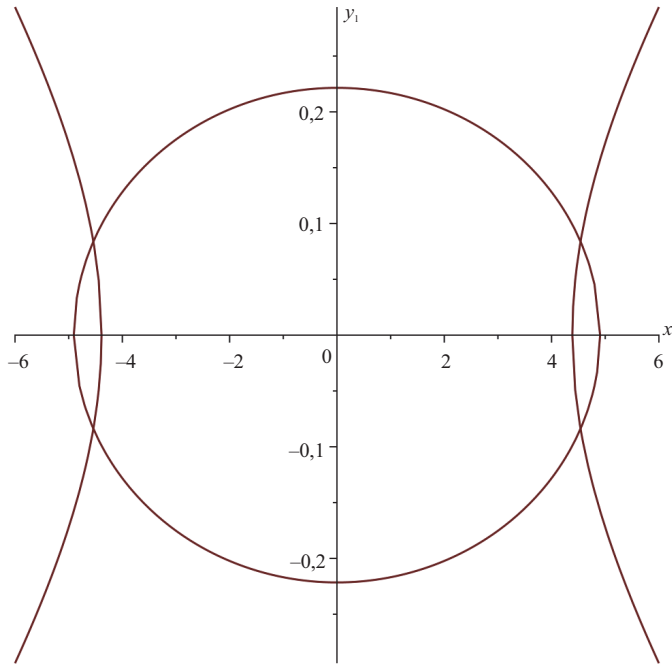


Рис. 4. Вид гиперболы и эллипса при  $y = \frac{5}{6}$ ,  $z = 8$ ,  $\theta = \frac{5\pi}{6}$ .

частиц, можно сделать вывод об устойчивости таких движений. Именно, если при некотором фиксированном  $\theta$  гипербола (11) и эллипс (13) не пересекаются, то стационарное движение (6), соответствующее данному  $\theta$ , является устойчивым (рис. 2–4).

Исследуем вопрос устойчивости регулярных прецессий более подробно. Из условия существования (11) стационарных движений выразим величину  $y_1^2$ :

$$(14) \quad y_1^2 = \frac{(1 + \cos \theta)^2}{(1 - \cos \theta)^2} x_1^2 + \frac{4a_1}{(1 - \cos \theta)^2}.$$

Так как  $y_1^2 \geq 0$ , то из (14) получим ограничение на  $x_1$ :

$$(15) \quad x_1^2 \geq \frac{4y \sin^4 \theta}{(1 + \cos \theta)^2} \sqrt{z \sin^2 \theta + \cos^2 \theta} = (x_1)_*^2.$$

Подставим полученное выражение (14) для  $y_1^2$  в условие устойчивости (13). Получим неравенство

$$(16) \quad (1 + \cos \theta)^2 x_1^2 + (2 - \cos \theta) a_1 + b_1 \geq 0.$$

Левая часть неравенства представляет собой параболу, ветви которой направлены вверх. Обозначим через  $x_{10}$  абсциссу точки пересечения параболы с положительной полуосью  $Ox_1$ . Найдем это значение

$$x_{10}^2 = -\frac{(2 - \cos \theta) a_1 + b_1}{(1 + \cos \theta)^2}.$$



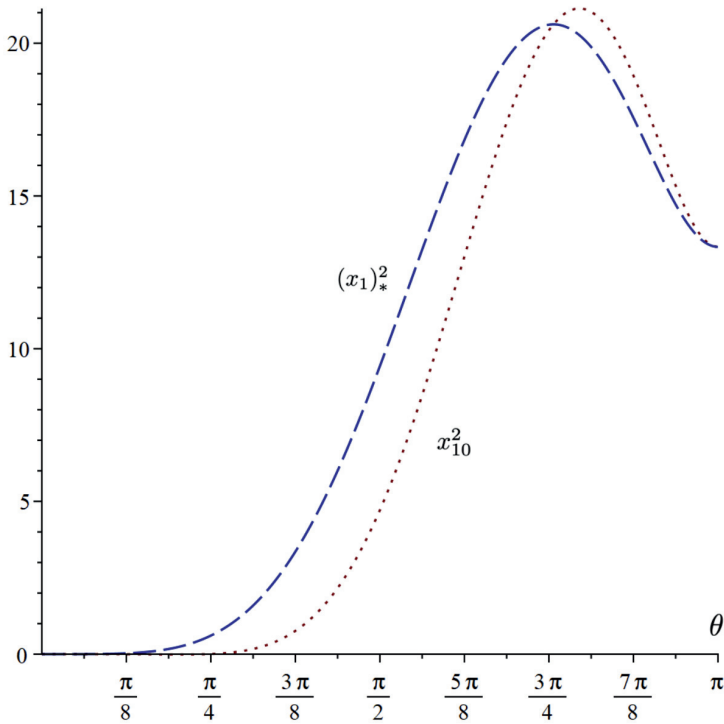


Рис. 5. Взаимное расположение  $x_{10}^2$  и  $(x_1)_*^2$  при  $y = \frac{5}{6}, z = 8$ .

После подстановки значений  $a_1$  и  $b_1$  запишем выражение  $x_{10}^2$  в явном виде:

$$(17) \quad x_{10}^2 = \frac{y \sin^4 \theta \sqrt{z \sin^2 \theta + \cos^2 \theta}}{(1 + \cos \theta)^2} \left( 2 - 3 \cos \theta + \frac{\cos \theta}{z \sin^2 \theta + \cos^2 \theta} \right).$$

При  $x_1^2 \geq x_{10}^2$  условие устойчивости (16) будет выполняться. Таким образом, регулярные прецессии существуют при выполнении условия (15), и являются устойчивыми, если выполняется условие (16). Отсюда можно сделать следующие выводы (рис. 5):

1. При  $x_{10}^2 < (x_1)_*^2$  регулярные прецессии устойчивы при любых допустимых значениях  $x_1, y_1$  (а соответственно при любых  $p_1, p_2$ ).
2. При  $x_{10}^2 > (x_1)_*^2$  регулярные прецессии устойчивы только при  $x_1^2 > x_{10}^2$ .

### 3.1. Случай $z > 1$

Рассмотрим сначала случай вытянутого эллипсоида вращения ( $z > 1$ ). Найдем условия, при которых  $x_{10}^2 > (x_1)_*^2$ . Получим

$$3(1 - z) \cos^3 \theta + 2(1 - z) \cos^2 \theta + (3z - 1) \cos \theta + 2z < 0.$$

Раскладывая на множители левую часть, получим следующее неравенство:

$$(18) \quad 3(z-1)(\cos\theta+1)\left(\cos\theta-\frac{1}{6}-\frac{1}{6}\sqrt{\frac{25z-1}{z-1}}\right) \times \\ \times \left(\cos\theta-\frac{1}{6}+\frac{1}{6}\sqrt{\frac{25z-1}{z-1}}\right) > 0.$$

Первые три множителя в левой части неравенства (18) положительные. Можно показать, что при  $z > 1$  верно неравенство

$$\frac{1}{6} + \frac{1}{6}\sqrt{\frac{25z-1}{z-1}} > 1.$$

Таким образом, множитель

$$\cos\theta - \frac{1}{6} - \frac{1}{6}\sqrt{\frac{25z-1}{z-1}}$$

в неравенстве (18) всегда отрицателен. Следовательно, неравенство (18) равносильно неравенству

$$(19) \quad \cos\theta - \frac{1}{6} + \frac{1}{6}\sqrt{\frac{25z-1}{z-1}} < 0.$$

Рассмотрим данное неравенство. Функция

$$\frac{1}{6} - \frac{1}{6}\sqrt{\frac{25z-1}{z-1}}$$

монотонно возрастает при  $z > 1$ . При этом она принимает значение  $-1$  при  $z = 2$ , и дальше асимптотически стремится к значению  $-\frac{2}{3}$ . Таким образом, при  $1 < z \leq 2$  получаем

$$\cos\theta - \frac{1}{6} + \frac{1}{6}\sqrt{\frac{25z-1}{z-1}} \geq 0,$$

а значит, неравенство (19) не выполняется. Отсюда делаем вывод, что при  $1 < z \leq 2$  регулярные прецессии устойчивы при любом значении  $\theta$  и любых допустимых значениях параметров  $x_1$  и  $y_1$  (и соответственно при любых допустимых значениях постоянных интегралов  $p_1, p_2$ ).

На рис. 6 при  $y = 2$ ,  $z = \frac{12}{11}$  представлена бифуркационная диаграмма Пуанкаре–Четаева на уровне  $y_1 = 0$ . На этом графике прямая  $\theta = \pi$  соответствует перманентным вращениям тела вокруг оси динамической симметрии. Видно, как от этой прямой ответвляются устойчивые регулярные прецессии тела. Кроме того, на плоскости безразмерных параметров  $x_1$  и  $y_1$  при фиксированных значениях  $\theta$  были построены графики соответствующих гиперболы

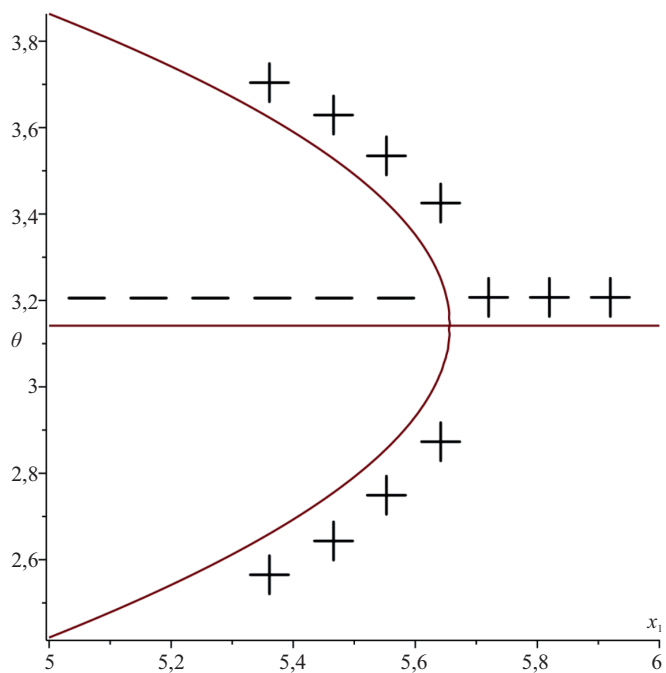


Рис. 6. Сечение поверхности (11) плоскостью  $y_1 = 0$  при  $y = 2, z = \frac{12}{11}$ .

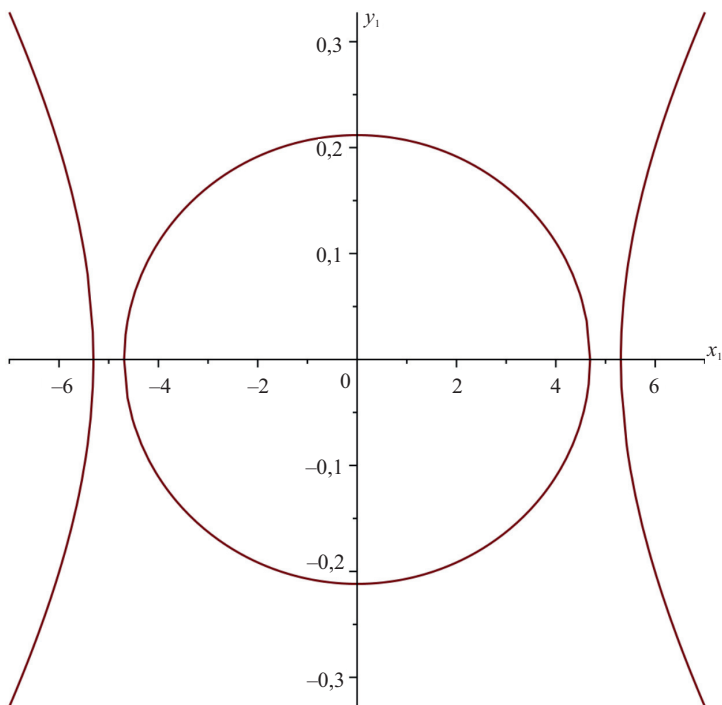


Рис. 7. Взаимное расположение гиперболы и эллипса при  $y = 2, z = \frac{12}{11}, \theta = \frac{5\pi}{6}$ .

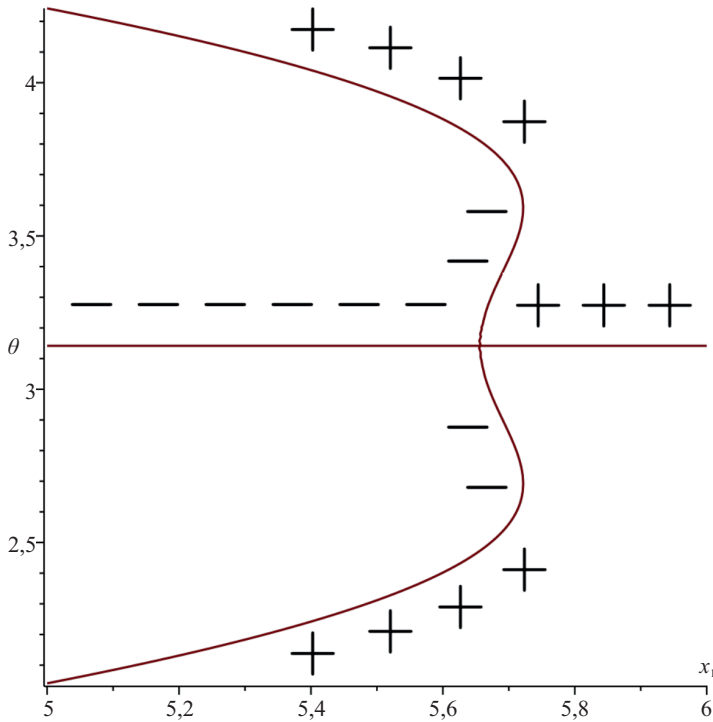


Рис. 8. Сечение поверхности (11) плоскостью  $y_1 = 0$  при  $y = 2, z = \frac{5}{2}$ .

и эллипса, задаваемых соотношениями (11) и (13) (см. рис. 7). Видно, что в рассматриваемом случае они не пересекаются.

Введем новое обозначение  $\theta_2$ :

$$(20) \quad \theta_2 = \arccos \left( \frac{1}{6} - \frac{1}{6} \sqrt{\frac{25z - 1}{z - 1}} \right).$$

Можно сделать вывод, что при  $z > 2$  неравенство (19) выполняется при  $\cos \theta < \cos \theta_2$  и не выполняется при  $\cos \theta \geq \cos \theta_2$ .

На рис. 8 при  $y = 2, z = \frac{5}{2}$  представлена бифуркационная диаграмма Пуанкаре–Четаева на уровне  $y_1 = 0$ . Видно, что регулярные прецессии тела, ответвляющиеся от перманентных вращений, являются неустойчивыми вблизи значения  $\theta = \pi$ , а затем, проходя через точку перегиба, становятся устойчивыми. Точка перегиба соответствует значению  $\theta = \theta_2$ , где  $\theta_2$  определяется формулой (20).

Кроме того, на рис. 9 на плоскости безразмерных параметров  $x_1$  и  $y_1$  представлены графики гиперболы и эллипса при значении  $\theta = \theta_2$ , определяемом формулой (20). Видно, что при этом значении они касаются, но не пересекаются.

Объединяя полученные выводы, можно заключить: исходное неравенство (18) выполняется при  $z > 2$  и  $\cos \theta < \cos \theta_2$ . И не выполняется при

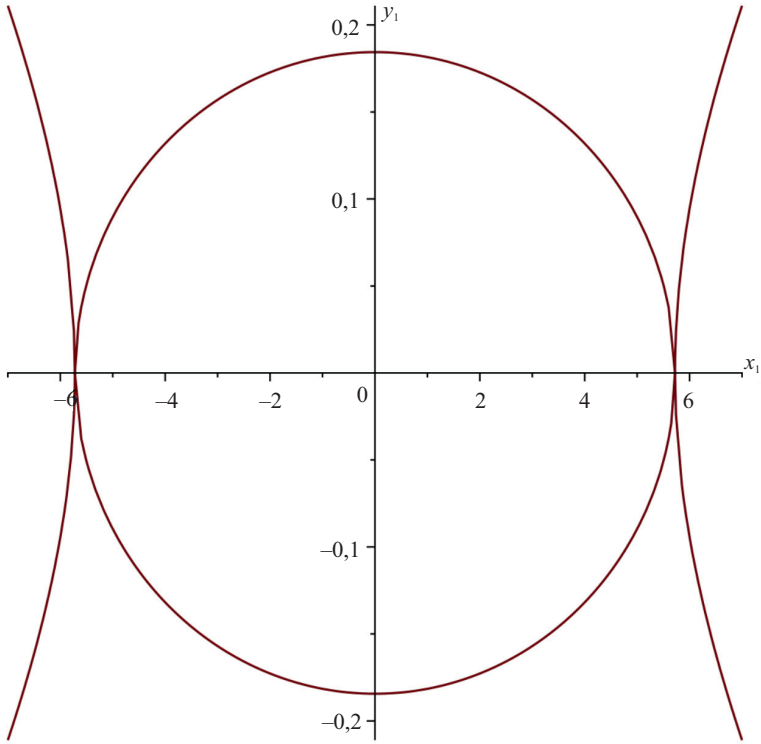


Рис. 9. Взаимное расположение гиперболы и эллипса при  $y = 2, z = \frac{5}{2}, \theta = \theta_2$

всех других значениях переменных. Таким образом, регулярные прецессии устойчивы при любых значениях  $x_1, y_1$  (а соответственно и при любых значениях постоянных первых интегралов  $p_1, p_2$ ), если  $1 < z \leq 2$  или  $z > 2$  и  $\cos \theta > \cos \theta_2$ . Если же  $z > 2$  и  $\cos \theta < \cos \theta_2$ , то регулярные прецессии устойчивы только при  $x_1^2 > x_{10}^2$ .

### 3.2. Случай $z < 1$

Теперь исследуем устойчивость регулярных прецессий сжатого эллипсоида вращения ( $z < 1$ ). Все найденные ранее выражения для  $x_{10}^2$  и  $(x_1)_*^2$  будут иметь тот же вид и для сжатого эллипсоида (15), (17). Условия, при которых  $x_{10}^2 > (x_1)_*^2$ , будут аналогичны (18). Упростив их, получим следующее неравенство:

$$(21) \quad \left( \cos \theta - \frac{1}{6} - \frac{1}{6} \sqrt{\frac{1-25z}{1-z}} \right) \left( \cos \theta - \frac{1}{6} + \frac{1}{6} \sqrt{\frac{1-25z}{1-z}} \right) < 0.$$

Легко видеть, что при  $z \in [\frac{1}{25}, 1)$  неравенство (21) не выполняется. Таким образом, можем сделать вывод, что при  $z \in [\frac{1}{25}, 1)$  значение  $x_{10}^2 \leq (x_1)_*^2$ , а значит регулярные прецессии будут устойчивыми при любых значениях параметров  $x_1, y_1$ .

3.3. Случай  $z < \frac{1}{25}$

Рассмотрим наконец случай  $z < \frac{1}{25}$ . Неравенство (21) будет выполняться при следующих значениях  $\theta$ :

$$(22) \quad \theta \in \left( \arccos \left( \frac{1}{6} + \frac{1}{6} \sqrt{\frac{1-25z}{1-z}} \right), \arccos \left( \frac{1}{6} - \frac{1}{6} \sqrt{\frac{1-25z}{1-z}} \right) \right).$$

Введем новое обозначение  $\theta_1$

$$\theta_1 = \arccos \left( \frac{1}{6} + \frac{1}{6} \sqrt{\frac{1-25z}{1-z}} \right).$$

Получается, что при  $\theta \in (0, \theta_1) \cup (\theta_2, \pi)$  неравенство (21) не будет выполняться, следовательно, регулярные прецессии будут устойчивыми при любых значениях параметров  $x_1, y_1$ . В случае же, если  $\theta \in (\theta_1, \theta_2)$ , то регулярные прецессии будут устойчивы только при  $x_1^2 > x_{10}^2$ .

На рис. 10 при  $y = \frac{101}{200}, z = \frac{1}{100}$  представлена бифуркационная диаграмма Пуанкаре–Четаева на уровне  $y_1 = 0$ . Видно, что регулярные прецессии тела, ответвляющиеся от перманентных вращений, являются устойчивыми вблизи значения  $\theta = \pi$ , и устойчивость сохраняется при уменьшении угла до  $\theta_2$ .

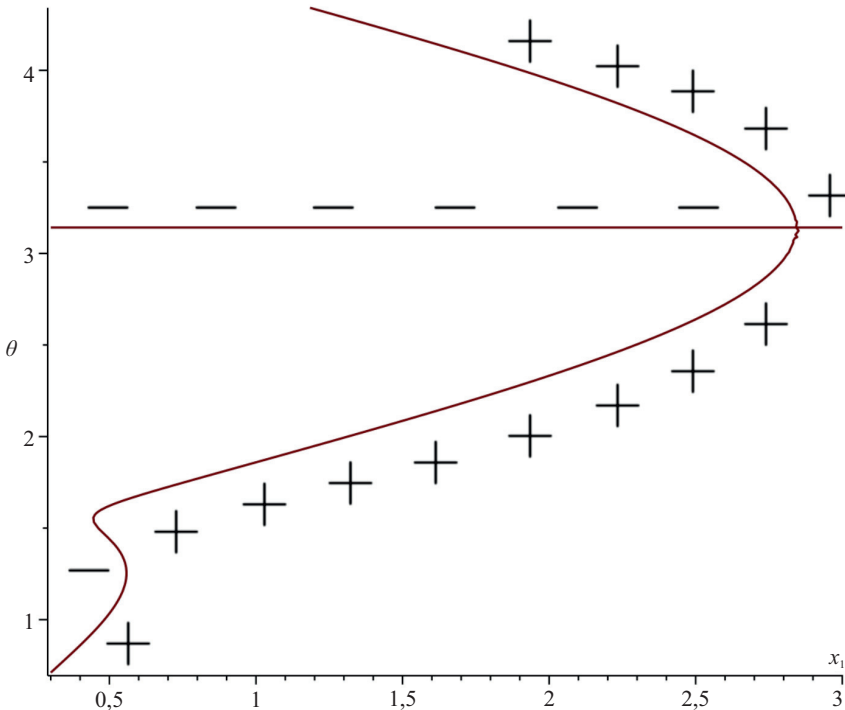


Рис. 10. Сечение поверхности (11) плоскостью  $y_1 = 0$  при  $y = \frac{101}{200}, z = \frac{1}{100}$ .

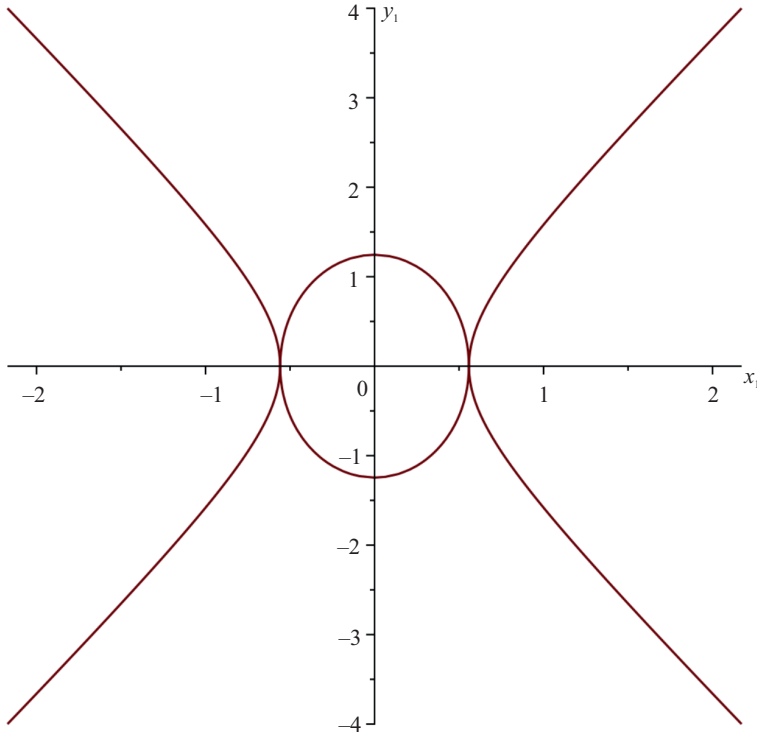


Рис. 11. Вид гиперболы и эллипса при  $y = \frac{101}{200}$ ,  $z = \frac{1}{100}$ ,  
 $\theta = \arccos\left(\frac{1}{6} + \frac{1}{6}\sqrt{\frac{1-25z}{1-z}}\right)$ .

Далее, при значениях  $\theta \in (\theta_1, \theta_2)$ , регулярные прецессии становятся неустойчивыми, и при  $\theta < \theta_1$  снова становятся устойчивыми.

На рис. 11–12 на плоскости безразмерных параметров  $x_1$  и  $y_1$  представлены графики гиперболы и эллипса при значениях

$$z = \frac{1}{100}, \quad \theta = \arccos\left(\frac{1}{6} + \frac{1}{6}\sqrt{\frac{1-25z}{1-z}}\right) \quad \text{и} \quad \theta = \arccos\left(\frac{1}{6} - \frac{1}{6}\sqrt{\frac{1-25z}{1-z}}\right).$$

Видно, что при этих значениях угла  $\theta$  гиперболы и эллипс касаются, но не пересекаются.

Итак, окончательно можно сделать вывод, что все регулярные прецессии (6) динамически симметричного твердого тела с неподвижной точкой, ограниченного поверхностью эллипсоида вращения, находящегося в потоке частиц, будут устойчивы независимо от величин параметров  $x_1$ ,  $y_1$  (а соответственно и независимо от значений постоянных первых интегралов  $p_1$  и  $p_2$ ), если отношение квадратов полуосей эллипсоида лежит в промежутке

$$\frac{1}{25} \leq z \leq 2.$$

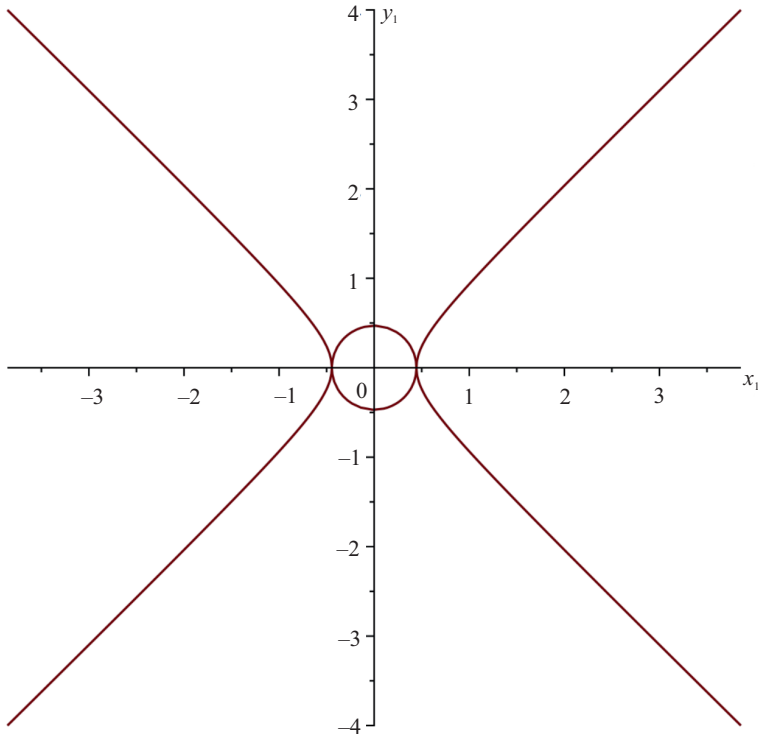


Рис. 12. Вид гиперболы и эллипса при  $y = \frac{101}{200}$ ,  $z = \frac{1}{100}$ ,  
 $\theta = \arccos\left(\frac{1}{6} - \frac{1}{6}\sqrt{\frac{1-25z}{1-z}}\right)$ .

При  $z > 2$  регулярные прецессии тела будут устойчивы независимо от значений параметров  $x_1$  и  $y_1$  если  $\theta$  лежит в промежутке

$$\theta \in \left[0, \arccos\left(\frac{1}{6} - \frac{1}{6}\sqrt{\frac{25z-1}{z-1}}\right)\right).$$

При значениях  $\theta$ , принадлежащих промежутку

$$\theta \in \left[\arccos\left(\frac{1}{6} - \frac{1}{6}\sqrt{\frac{25z-1}{z-1}}\right), \pi\right)$$

регулярные прецессии устойчивы, если справедливо неравенство

$$x_1^2 > \frac{y \sin^4 \theta \sqrt{z \sin^2 \theta + \cos^2 \theta}}{(1 + \cos \theta)^2} \left(2 - 3 \cos \theta + \frac{\cos \theta}{z \sin^2 \theta + \cos^2 \theta}\right).$$

При

$$0 < z < \frac{1}{25}$$



регулярные прецессии тела будут устойчивы независимо от значений параметров  $x_1$  и  $y_1$ , если  $\theta$  принадлежит объединению интервалов

$$\theta \in \left( 0, \arccos \left( \frac{1}{6} + \frac{1}{6} \sqrt{\frac{1-25z}{1-z}} \right) \right) \cup \left( \arccos \left( \frac{1}{6} - \frac{1}{6} \sqrt{\frac{1-25z}{1-z}} \right), \pi \right).$$

При значениях  $\theta$ , принадлежащих отрезку

$$\theta \in \left[ \arccos \left( \frac{1}{6} + \frac{1}{6} \sqrt{\frac{1-25z}{1-z}} \right), \arccos \left( \frac{1}{6} - \frac{1}{6} \sqrt{\frac{1-25z}{1-z}} \right) \right]$$

регулярные прецессии будут устойчивы, если выполняется условие

$$x_1^2 > \frac{y \sin^4 \theta \sqrt{z \sin^2 \theta + \cos^2 \theta}}{(1 + \cos \theta)^2} \left( 2 - 3 \cos \theta + \frac{\cos \theta}{z \sin^2 \theta + \cos^2 \theta} \right).$$

Таковы основные выводы об устойчивости регулярных прецессий динамически симметричного тела с неподвижной точкой, ограниченного поверхностью эллипсоида вращения, в потоке частиц.

#### СПИСОК ЛИТЕРАТУРЫ

1. *Lagrange J.L.* *Mechanique analitique.* Paris: Desaint, 1788.
2. *Routh E.J.* *The advanced part of a treatise on the dynamics of a system of rigid bodies: Being part II of a treatise on the whole subject.* 6th ed. New York: Dover, 1955.
3. *Tournaire L.-M.* *Memoire sur la rotation des corps pesant* // C. R. Acad. Sci. Paris. 1860. V. 50. No. 1. P. 476–481.
4. *Скимель В.Н.* К задачам устойчивости движения тяжелого твердого тела вокруг неподвижной точки // ПММ. 1956. Т. 20. Вып. 1. С. 130–132.
5. *Четаев Н.Г.* Об устойчивости вращения твердого тела с одной неподвижной точкой в случае Лагранжа // ПММ. 1954. Т. 18. Вып. 1. С. 123–124.
6. *Карымов А.А.* Определение сил и моментов сил светового давления, действующих на тело при движении в космическом пространстве // ПММ. 1962. Т. 26. Вып. 5. С. 867–876.
7. *Карымов А.А.* Устойчивость вращательного движения геометрически симметричного искусственного спутника в поле сил светового давления // ПММ. 1964. Т. 28. Вып. 5. С. 923–930.
8. *Белецкий В.В.* Движение искусственного спутника относительно центра масс. М.: Наука, 1965.
9. *Белецкий В.В., Яншин А.М.* Влияние аэродинамических сил на вращательное движение искусственных спутников. Киев: Наук. думка, 1984.
10. *Буров А.А., Карпетян А.В.* О движении твердого тела в потоке частиц // ПММ. 1993. Т. 57. Вып. 2. С. 77–81.

11. *Сидоренко В.В.* О вращательном движении космического аппарата с солнечным стабилизатором // Косм. иссл. 1992. Т. 30. № 6. С. 780–790.
12. *Карпетян А.В.* Устойчивость стационарных движений. М.: Эдиториал URSS, 1998.
13. *Карпетян А.В.* Устойчивость и бифуркация движений. М.: Изд-во МГУ, 2020.
14. *Каленова В.И., Карпетян А.В., Морозов В.М., Салмина М.А.* Неголономные механические системы и стабилизация движения // Фундаментальная и прикладная математика. 2005. Т. 11. № 7. С. 117–158.
15. *Karapetyan A.V.* On construction of the effective potential in singular cases // Regular Chaot. Dynam. 2000. V. 5. No. 2. P. 219–224.
16. *Александров П.С.* Лекции по аналитической геометрии. М.: Наука, 1968.
17. *Бронштейн И.Н., Семендяев К.А.* Справочник по математике для инженеров и учащихся втузов. М.: Изд-во ГИТТЛ, 1955.
18. *Karapetyan A.V., Kuleshov A.S.* Steady Motions of Nonholonomic Systems // Regular and Chaot. Dynam. 2002. V. 7. No. 1. P. 81–117.
19. *Гаджиев М.М., Кулешов А.С.* О движении твердого тела с неподвижной точкой в потоке частиц // Вест. МГУ. Серия 1. Математика. Механика. 2022. № 3. С. 58–68.
20. *Кулешов А.С., Гаджиев М.М.* Задача о движении твердого тела с неподвижной точкой в потоке частиц // Вест. СПб. ун-та. Серия 1. Математика. Механика. Астрономия. 2022. Т. 9 (67). Вып. 3. С. 550–560.
21. *Gadzhiev M.M., Kuleshov A.S.* Nonintegrability of the Problem of the Motion of an Ellipsoidal Body with a Fixed Point in a Flow of Particles // Russ. J. Nonlin. Dynam. 2022. V. 18. No. 4. P. 629–637.
22. *Гаджиев М.М., Кулешов А.С.* Об устойчивости стационарных движений тела с неподвижной точкой в потоке частиц // Тр. МАИ. 2023. № 129. С. 1–20.

*Статья представлена к публикации членом редколлегии А.Г. Кушнером.*

Поступила в редакцию 03.06.2024

После доработки 05.07.2024

Принята к публикации 11.08.2024